



بهبود و موازی‌سازی سازوکار تشخیص نفوذ شبکه Snort با استفاده از واحد پردازش گرافیکی

مهندی عباسی*

گروه مهندسی کامپیوتر، دانشکده مهندسی، دانشگاه بولی سینا، همدان، ایران

چکیده

سامانه تشخیص نفوذ شبکه به منظور برقراری امنیت کامل در شبکه‌های رایانه‌ای به طور گستردگی مورد استفاده قرار می‌گیرد. سامانه تشخیص نفوذ شبکه مبتنی بر امضا نسبت به نوع مبتنی بر ناهنجاری به دلیل نرخ هشدار اشتباہ پایین‌تر، از عمومیت بالاتری برخوردار است. فرآیند تطبیق الگو در چنین دستگاهی نیازمند پردازش محاسباتی بالا است. از سوی دیگر توسعه سریع پهنه‌ای باند شبکه و سرعت‌های بالای پیوند که خود موجب افزایش تعداد زیادی از بسته‌های ورودی در سامانه تشخیص نفوذ شبکه می‌شود، به عنوان عوامل کلیدی محدودکننده کارایی این نوع سامانه، آن را با چالش‌هایی روبرو کرده است. Snort یک سامانه تشخیص نفوذ شبکه مبتنی بر امضا بوده که به دلیل متن‌باز، رایگان و سبک‌بودن بسیار پرکاربرد است. در این مقاله جهت بهبود کارایی سامانه تشخیص نفوذ شبکه snort، از ایده کلیدی فیلترکردن بسته‌های غیرضروری شبکه بر اساس فهرست سیاه نشانی‌ها، به عنوان یک سازوکار پیش‌پردازش استفاده شده است. یکی از چالش‌های مهم این سازوکار کاهش سرعت فیلترکردن بسته‌ها، با افزایش حجم ترافیک شبکه است؛ بنابراین به عنوان بهبود دوم، جهت تسريع عملکرد این سامانه ارائه شده، نسخه موازی آن را روی بستر رمز جهت اجرا روی واحد پردازش گرافیکی ارائه کردیم. الگوریتم پیشنهادی را بر روی مجموعه‌داده DARPA در یک پردازنده گرافیکی آزمایش شد. نتایج ارزیابی نشان می‌دهد که روش پیشنهادی با تسريع عملکرد این سامانه ارائه شده، باعث بهبود قابل توجهی در عملکرد فیلتر بسته مبتنی بر فهرست سیاه می‌شود. همچنین، بهره‌وری روش پیشنهادی در استفاده از منابع پردازنده گرافیکی برای اجرای موازی تشخیص نفوذ نسبت به بهترین روش موجود حدود ۸۱ درصد بیشتر است.

واژگان کلیدی: سامانه تشخیص نفوذ شبکه، فیلتر بسته، فهرست سیاه، تطبیق الگو، واحد پردازش گرافیکی.

Improvement and parallelization of Snort network intrusion detection mechanism using graphics processing unit

Mahdi Abbasi* & Motahhareh Afshari Haghdoost

Department of Computer Engineering, Engineering Faculty, Bu-Ali Sina University,
Hamedan, Iran

Abstract

Nowadays, Network Intrusion Detection Systems (NIDS) are widely used to provide full security on computer networks. IDS are categorized into two primary types, including signature-based systems and anomaly-based systems. The former is more commonly used than the latter due to its lower error rate. The core of a signature-based IDS is the pattern matching. This process is inherently a computationally intensive task, and in the worst case, about 80% of the total processing time of an IDS is spent on it. On the other hand, the rapid development of network bandwidth and high link speeds, which in turn leads to a loss of a large number of inbound packets in the network intrusion detection system, has posed challenges as crucial factors limiting the performance of this type of system. Snort is a signature-based NIDS that is highly interested due to being open-source, free, and easy to use. To resolve the challenges mentioned above, we propose an enhanced version of Snort, which is enriched by exploiting two key

* Corresponding author

سال ۱۴۰۰ شماره ۱ پیاپی ۴۷

تاریخ ارسال مقاله: ۱۳۹۷/۱۱/۱۲ • تاریخ پذیرش: ۱۳۹۹/۱۱/۱۱ • تاریخ انتشار: ۱۴۰۰/۰۳/۰۱ • نوع مطالعه: پژوهشی

نویسنده عهده‌دار مکاتبات

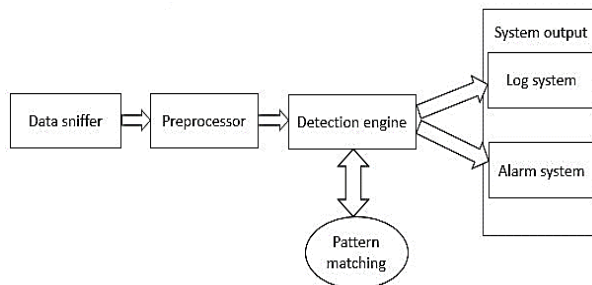
ideas. The first idea is the filtering of unnecessary packets based on a blacklist of source IP addresses. This filter is used as a preprocessing mechanism to improve the efficiency of the Snort. However, the packet filtering speed is decreased by increasing the network traffic volumes. Therefore, to accelerate the function of this mechanism, we have proposed a second crucial idea. The data-parallel nature of snort functions lets us parallelize two main computationally intensive functions of it on the graphical processing unit. These functions include the lookup on the blacklist filter in the preprocessing stage and the signature matching of Snort, which completes the intrusion detection process. For parallelizing the preprocessing step of Snort, first, a blacklist is provided from the DARPA dataset. Next, this blacklist is transferred together with the Snort ruleset to the global memory of the GPU. Finally, each thread concurrently matches each packet against the blacklist filters. For parallelizing the signature matching step of Snort, the well-known pattern matching algorithm of Boyer-Moore is parallelized similarly. Evaluation results show that the proposed method, by up to 30 times faster than the sequential version, significantly improves the blacklist-based filtering performance. Also, the efficiency of the proposed method in using GPU resources for parallel intrusion detection is 81 percent higher than the best state-of-the-art method.

Key words: Network intrusion detection system, packet filter, black list, pattern matching, graphics processing unit.

پیش‌ساخته شده موجود در یک پایگاه داده، شناسایی می‌شوند [3-5]. سامانه‌های تشخیص نفوذ شبکه مبتنی بر امضا به دلیل نرخ هشدار پایین نسبت به نوع مبتنی بر ناهمجارتی از عمومیت بالاتری برخوردار هستند [7-10]. نرم‌افزار snort یک سامانه تشخیص نفوذ مبتنی بر امضا است که به دلیل رایگان، متن باز و سبکبودن، مورد استفاده بسیاری از کاربران قرار می‌گیرد. سامانه تشخیص نفوذ snort همان‌طور که در شکل (۱) نشان داده شده از چهار جزء اصلی تشکیل شده که شامل شنودکننده داده، پیش‌پردازش‌گر، موتور تشخیص و سامانه ثبت و هشدار است [13].

۱- مقدمه

سامانه‌های تشخیص نفوذ شبکه به عنوان یک ابزار امنیتی ضروری جهت حفاظت شبکه‌های مختلف در مقابل نفوذها و فعالیت‌های مخرب به کار گرفته می‌شوند [6]. سامانه‌های تشخیص نفوذ شبکه بر اساس نحوه تشخیص نفوذ به دو دسته تقسیم می‌شوند: سامانه تشخیص نفوذ مبتنی بر ناهمجارتی و سامانه تشخیص نفوذ مبتنی بر امضا [7-12]. در نوع نخست حملات و تهدیدها توسط مقایسه رویدادهای جاری با وقایع عادی از پیش تعريف شده، تشخیص داده می‌شوند؛ در حالی که در نوع دوم نفوذها با مقایسه سرآیند و محتوای بسته با قوانین از



[1] snort تشخیص نفوذ [1] (Figure-1): The architecture of Snort IDS [1]

با وجود اینکه در سال‌های اخیر قدرت محاسباتی رایانه‌ها افزایش یافته اما به دلیل حجم بالای ترافیک و افزایش تعداد و پیچیدگی امضاهای قابلیت محاسباتی محدود همچنان یک موضوع اساسی برای سامانه‌های تشخیص نفوذ شبکه مبتنی بر امضا است. به عنوان نمونه حجم ترافیک بالا در شبکه‌های پرسرعت موجب می‌شود که حافظه در سامانه تشخیص نفوذ snort به سرعت پایان یابد و درنتیجه، تعداد زیادی از بسته‌های ورودی را از دست می‌دهد. همچنین در ترافیک وب با حجم بالا، snort به طور تقریبی هشتاد درصد زمان کل پردازش خود

در ابتدا بسته‌های ضبط شده توسط شنودکننده به قسمت پیش‌پردازش‌گر ارسال می‌شوند؛ سپس بعد از تجزیه و تحلیل بسته توسط افزونه‌های موجود در بخش پیش‌پردازش جهت تطبیق با مجموعه قوانین snort به بخش موتور تشخیص فرستاده شده و درنهایت در صورت تطبیق، سامانه خروجی هشداری مبنی بر وجود حمله صادر می‌کند. با توجه به این که موتور تشخیص اصلی ترین بخش سامانه تشخیص نفوذ است، تعداد و پیچیدگی امضاهای و همچنین بررسی تعداد بسته‌های ورودی عمل مؤثر در کارایی سامانه تشخیص نفوذ است [14].

سپس ساختار واحد پردازش گرافیکی بررسی شده و درنهایت، برخی از کارهای انجام شده را در راستای بهبود عملکرد سامانه تشخیص نفوذ شبکه، مرور می‌کنیم.

۱-۲- سامانه تشخیص نفوذ شبکه snort

سامانه تشخیص نفوذ شبکه مبتنی بر امضا snort، یک نرمافزار امنیتی متن‌باز و رایگان است که به‌طور گسترده مورد استفاده قرار می‌گیرد. در snort، یک قانون شامل دو قسمت سرآیند و بدنه است. قسمت سرآیند شامل فیلد پروتکل، نشانی IP مبدأ و مقصد، شماره پورت مبدأ و مقصد است و قسمت بدنه شامل رشته‌هایی جهت تطبیق الگو، پیام، آفست، عمق، جریان و غیره است. به‌طورکلی، در سامانه تشخیص نفوذ snort قوانین بر اساس شماره پورت مبدأ و مقصد و نشانی IP مبدأ و مقصد دسته‌بندی می‌شوند. در این سامانه، هنگامی که سرآیند بسته‌های ورودی با فیلدهای منتظر در سرآیند قانون‌های مربوطه تطبیق داده شود، آن‌گاه محتوای بسته توسط الگوریتم تطبیق الگو با رشته موجود در بدنه قانون‌ها تطبیق داده می‌شود؛ در صورت تطبیق، هشداری از سوی سامانه صادر خواهد شد.

الگوریتم‌های تطبیق الگو در دو دسته، تطبیق الگوی منفرد و تطبیق الگوی چندگانه تقسیم می‌شوند. در الگوریتم‌های تطبیق الگوی منفرد، هر الگو در رشته ورودی جداگانه جستجو می‌شود؛ در حالی که در الگوریتم‌های تطبیق الگوی چندگانه، با ساخت ماشین حالت و انتقال آن در حافظه، مجموعه‌ای از الگوهای به صورت موازی در رشته ورودی جستجو می‌شوند [19]. Boyer-Moore که به اختصار BM نامیده می‌شود، یکی از پرکاربردترین الگوریتم تطبیق الگوی منفرد است. پیچیدگی زمان اجرای این الگوریتم، هنگامی که پسوند رشته در یک جریان ورودی به ندرت ظاهر شود، به‌دلیل وجود حالت پرش، خطی می‌شود [20].

Aho-Corasick که به اختصار AC نامیده می‌شود، نیز یکی از پرکاربردترین الگوریتم تطبیق الگوی چندگانه است. AC یک الگوریتم سریع است که با ساخت ماشین خودکار متناهی قطعی، جستجوی چند الگویی را انجام می‌دهد. الگوریتم AC در ابتدا یک ماشین تطبیق الگو حالت متناهی جهت جستجو از مجموعه الگوهای مربوطه می‌سازد؛ سپس رشته ورودی را توسط این ماشین در یک مرحله پردازش می‌کند. به‌طورکلی عملکرد الگوریتم AC به‌وسیله سه تابع تعیین می‌شود که این توابع شامل تابع goto جهت رفتن از حالت جاری به حالت بعدی، تابع failure جهت رفتن به حالت بعدی هنگامی که تطبیقی رخ ندهد و درنهایت تابع output جهت دریافت مجموعه الگوهایی که در حالت جاری تطبیق داده شده، است [21].

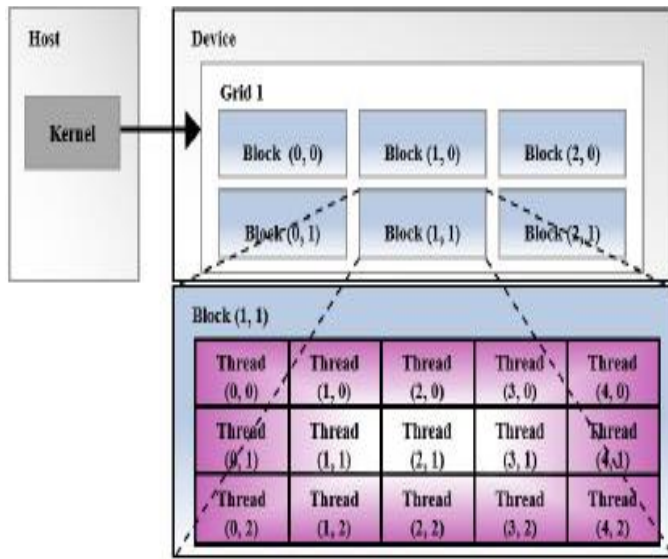
را صرف تطبیق رشته ورودی با ا مضاهای ذخیره شده می‌کند [15-18]. با توجه به آنچه بیان شد، افزایش روزافزون حملات و نفوذ‌های شبکه و از سوی دیگر با توجه به توسعه سریع فناوری سخت‌افزار و پهنانی باند شبکه و سرعت‌های بالای پیوند، مشکلاتی را برای سامانه تشخیص نفوذ شبکه مطرح کرده است. به‌منظور مقابله با مشکلات و بهبود کارایی یک سامانه تشخیص نفوذ شبکه به‌خصوص سامانه تشخیص نفوذ شبکه snort راه کارهای متفاوتی که شامل موازی‌سازی الگوریتم تطبیق الگو در جهت تسريع عملکرد موتور تشخیص، دسته‌بندی یا فیلتر بسته‌های شبکه به عنوان یک سازوکار پیش‌پردازش و موازی‌سازی بخش پیش‌پردازش است، ارائه شده است.

در این مقاله، جهت افزایش کارایی سامانه تشخیص نفوذ snort در شبکه‌های پرسرعت روش ارائه شده در [2] را که روشی کارا جهت فیلتر کردن بسته‌های شبکه در بخش پیش‌پردازش، مبنای کار خود قرار داده و با موازی‌سازی فیلتر بیان شده توسط واحد پردازش گرافیکی کارایی فیلتر و درنتیجه سامانه تشخیص نفوذ شبکه را ارتقا داده‌ایم. فیلتر یادشده با استفاده از ایده کلیدی فیلتر کردن بسته‌های غیرضروری بر اساس فهرست سیاه باعث کاهش بسته‌های ارسالی به سامانه تشخیص نفوذ شبکه و درنتیجه باعث بهبود کارایی سامانه‌های تشخیص نفوذ می‌شود؛ اما، افزایش حجم بسیار زیاد ترافیک و تهدیدات در شبکه‌های پرسرعت، چالش‌هایی را برای این فیلتر نیز به وجود می‌آورد؛ بنابراین، ایده تسريع در عملکرد فیلتر یاده شده و همچنین تطبیق الگوهای نفوذ، به عنوان یک راه کار پیش‌پردازش می‌تواند موجب ارتقای عملکرد سامانه تشخیص نفوذ شبکه شود.

مقاله ارائه شده بدین صورت سازمان‌دهی شده است: در بخش دوم، پس از معرفی واحد پردازش گرافیکی، قوانین و نحوه فرآیند تطبیق الگو در سامانه تشخیص نفوذ snort، به بررسی و مرور برخی از پژوهش‌های مرتبطی که در زمینه بهبود عملکرد سامانه تشخیص نفوذ شبکه انجام شده، پرداخته خواهد شد. در بخش سوم، نحوه موازی‌سازی الگوریتم فیلتر کردن بسته‌های شبکه و اجرای آن توسط واحد پردازش گرافیکی توضیح داده و در بخش چهارم مقاله، نتایج ارزیابی به دست آمده از موازی‌سازی روش پیشنهادی بر روی مجموعه داده DARPA از نقطه نظر دقت، حافظه، تسريع و گذرداد بررسی می‌شود و درنهایت در بخش پنجم به نتیجه‌گیری و ارائه راه کارهایی جهت پیشرفت پژوهش موجود اختصاص می‌یابد.

۲- مفاهیم بنیادی

در این بخش در ابتدا به معرفی قوانین سامانه تشخیص نفوذ شبکه snort و فرآیند تطبیق الگو پرداخته می‌شود؛



(شکل-۲): لوک و نخ در واحد پردازش گرافیکی [10]
 (Figure-2): Block and Thread in GPU

بین این چندپردازنده‌های جریانی تقسیم می‌شوند. در هر SM چندین وارپ^۴ تعریف می‌شود و هر وارپ از ۳۲ پردازش نخی تشکیل شده است. هر SM دارای یک حافظه اشتراکی و یک حافظه نهان L1 است. همچنین حافظه نهان L2 در یک پردازنده گرافیکی بین تمام SM‌ها و حافظه سراسری قرار دارد. هر برنامه‌ای که در کودا نوشته می‌شود، هسته^۵ نامیده شده و هر هسته توسط یک گردید^۶ که خود از چندین بلوک^۷ تشکیل شده اجرا می‌شود. هر بلوک نیز از چندین نخ اجرایی تشکیل شده است. به طور کلی هر بلوک به وسیله یک SM اجرا می‌شود؛ اما یک SM می‌تواند چندین بلوک را به صورت هم‌رونده نیز اجرا کند [23].

هر واحد پردازش گرافیکی دارای انواع مختلفی از حافظه با ویژگی‌های متفاوت از لحاظ دسترسی است. این مجموعه، شامل حافظه سراسری^۸، حافظه ثابت^۹، حافظه بافت^{۱۰}، حافظه محلی^{۱۱}، حافظه مشترک^{۱۲} و ثبات^{۱۳} است. حافظه سراسری، بزرگترین حافظه با قابلیت ذخیره‌سازی صدها مگابایت داده است؛ اما تأخیر دسترسی در این حافظه نسبت به انواع دیگر حافظه‌ها بیشتر است. حافظه ثابت، شبیه حافظه سراسری بوده با این تفاوت که پهنهای باند موردنیاز آن بسیار کمتر از حافظه سراسری است؛ بنابراین سرعت انتقال داده‌های آن بسیار بیشتر خواهد بود.

⁴ Warp

⁵ Kernel

⁶ Grid

⁷ Block

⁸ Global memory

⁹ Constant memory

¹⁰ Texture memory

¹¹ Local memory

¹² Shared memory

¹³ Register

۲-۲- واحد پردازش گرافیکی

واحد پردازش گرافیکی که جهت نمایش تصاویر گرافیکی به کار می‌رود، به عنوان یک واحد محاسباتی موازی قدرتمند است و به جای واحد پردازش مرکزی، نقش کلیدی را در تسريع پردازش‌های محاسباتی سنگین می‌تواند بر عهده گیرد. دلیل اصلی این تحول بزرگ محاسباتی آن است که درگذشته افت شدیدی در عملکرد پردازنده مرکزی به دلیل پردازش تصویر وجود داشت. درنتیجه، معماری واحد پردازش گرافیکی، به خصوص برای انجام محاسبات فشرده و عملیات موازی طراحی شده است.

واحد پردازش مرکزی و واحد پردازش گرافیکی از لحاظ معماری رایانه، تفاوت‌های چشم‌گیری باهم دارند. واحد پردازش گرافیکی برخلاف واحد پردازش مرکزی که دارای چند هسته با تعداد زیادی حافظه نهان است، از صدها هسته تشکیل شده است که می‌تواند به طور همزمان هزاران کار را در حالت اجرا داشته باشد. درنتیجه می‌تواند سرعت اجرای برخی از پردازش را صدبرابر واحد پردازش مرکزی شتاب دهد. در این راستا به منظور اجرای محاسبات غیر گرافیکی روی پردازنده گرافیکی شرکت انویدیا^۱، نرم‌افزار رمز را عرضه کرد که یک مدل برنامه‌نویسی و سکوی پردازش موازی است [22].

معماری یک واحد پردازش گرافیکی در شکل (۲) نشان داده شده است، از لحاظ سخت‌افزاری هر پردازنده گرافیکی از تعدادی چندپردازنده‌های جریانی^۲ یا به اختصار SM تشکیل شده‌اند. پردازنده‌های جریانی^۳ یا به اختصار SP

¹ Nvidia

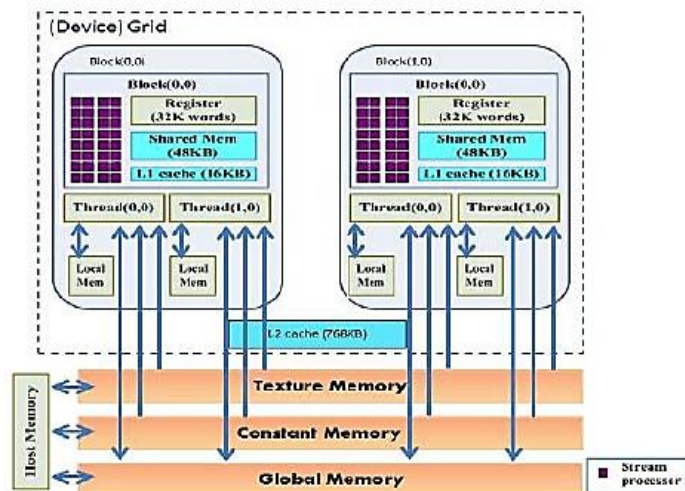
² Streaming Multiprocessor

³ Streaming Processor

بهازای هر نخ یک ثبات وجود دارد که ظرفیت آن حد میان حافظه محلی و حافظه مشترک و همچنین یک ذخیره‌ساز سریع و محلی برای نخ‌ها در حین اجرای هسته است. شکل (۳) سلسله‌مراتب حافظه را نشان می‌دهد که از پایین به سمت بالا ظرفیت حافظه‌ها کم، ولی سرعت آن‌ها زیاد می‌شود. درنتیجه، هنگامی که حجم داده‌های ورودی بسیار بالا باشد باید از حافظه سراسری استفاده شود [23, 24].

بهدلیل وجود تعداد قابل توجهی هسته پردازش موازی در کنار سلسله‌مراتب حافظه با ویژگی‌های متفاوت از لحاظ پهنای باند و تأخیر دسترسی، در کنار قیمت بسیار کمتر در واحد پردازش گرافیکی نسبت به سامانه‌های چندپردازنه متداول، تاکنون، چندین کار از جمله [25-31] با استفاده از بستر کودا برای پیاده‌سازی موازی الگوریتم‌های دسته‌بندی بسته‌های شبکه و همچنین موازی‌سازی توابع شبکه از قبیل جستجوی IP در جداول مسیریابی باهدف دست‌یابی به گذرداد بالاتر، پرداخته‌اند.

اندازه حافظه ثابت کوچک است و به صورت فقط خواندنی مورد استفاده قرار می‌گیرد. حافظه بافت حد وسط بین حافظه سراسری و حافظه ثابت است. حافظه بافت مانند حافظه ثابت یک حافظه فقط خواندنی است با این تفاوت که بهدلیل بهره‌گیری از الگوهای دسترسی به حافظه موجب کاهش زمان تأخیر دسترسی به حافظه می‌شود. حافظه محلی، دارای ظرفیت محدود و محل نگهداری متغیرهای محلی پردازش‌های نخی بوده و بهازای هر نخ اجرایی قسمتی از این حافظه در اختیار آن قرار می‌گیرد. حافظه مشترک، امکان همکاری بین نخ‌های یک بلوک خاص را فراهم می‌کند. درواقع حافظه محلی درون یک بلوک بوده و به‌گونه‌ای است که هر کدام از نخ‌های بلوک اجازه دسترسی به آن را دارند و دارای ظرفیتی بیشتر از حافظه محلی است. ثبات، عنصر ذخیره‌ساز در سطح پردازنده گرافیکی است که سرعت آن نسبت به سایر عناصر ذخیره‌ساز بالاتر بوده و قیمت آن نیز بیشتر است.



(شکل-۳): ساختار سلسله‌مراتبی حافظه GPU [۱۱]

(Figure-3): Hierarchical memory system of GPU

سرعت تشخیص نفوذ شبکه به‌طور کلی در دو دسته تقسیم می‌شوند. دسته نخست رویکردهایی هستند که در آن‌ها بهبود الگوریتم تطبیق الگو جهت تسريع عملکرد موتور تشخیص موردنوجه قرار گرفته است. در دسته دوم به دسته‌بندی یا فیلتر بسته‌های شبکه به‌عنوان یک سازوکار پیش‌پردازش جهت تسريع عملکرد موتور تشخیص پرداخته می‌شود.

ابتداء، به بررسی و مرور مهم‌ترین راه‌کارهای نوع نخست می‌پردازیم. به‌عنوان مثال، Vasiliadis در سال ۲۰۰۸ یک سامانه آزمایشی به نام Gnort را بر مبنای سامانه تشخیص نفوذ شبکه snort ارائه دادند [32]. در این مقاله الگوریتم تطبیق الگو Aho-Corasick در واحد

۳- پیشینه پژوهش

مروری بر پژوهش‌های اخیر در زمینه موازی‌سازی بخش‌های مختلف سامانه تشخیص نفوذ شبکه، نشان می‌دهد که نیاز به انجام پژوهش‌های بیشتر در زمینه موازی‌سازی الگوریتم‌های تشخیص نفوذ وجود دارد. هرچند رویکردهای متفاوتی در زمینه تسريع این نوع الگوریتم‌ها وجود دارد، اما رویکردهای موجود موضوع افزایش نرخ ترافیک را در شبکه‌های رایانه‌ای در نظر نگرفته و بهبود قابل توجهی در کارایی زمانی الگوریتم‌های تشخیص نفوذ ایجاد نکرده‌اند.

به‌منظور بهبود کارایی سامانه تشخیص نفوذ شبکه راه‌کارهای متفاوتی ارائه شده است که از دیدگاه افزایش

همان طور که در قبل بیان شد، دسته دوم راهکارها از ایده دسته‌بندی و فیلتر بسته‌های شبکه به عنوان یک سازوکار پیش‌پردازش استفاده می‌کنند. دسته‌بندی موجب کاهش قوانین مورداستفاده در فرآیند تطبیق الگو است. از سوی دیگر، فیلتر بسته‌های شبکه موجب کاهش یافتن تعداد بسته‌های هدف و درنتیجه کاهش بار محاسباتی سامانه تشخیص نفوذ شبکه می‌شود. برای نمونه Song و همکاران در سال ۲۰۰۵ یک معماری دسته‌بندی بسته برای سامانه تشخیص نفوذ شبکه مبتنی بر FPGA تحت عنوان BV-TCAM در مقاله خود ارائه دادند [35]. در این کار از حافظه تداعی‌گر سه‌وضعیتی^۱ جهت اجرای جستجوی موازی موردنیاز در دسته‌بندی بسته‌ها بر اساس فیلدهای پروتکل و نشانی IP طبق الگوریتم بردار بیتی استفاده کردند. موتور جستجوی پیشنهادی در آن پژوهش قادر به اجرای متوسط ۱۲/۵ جستجو در ثانیه بر روی مجموعه قوانین snort شد.

Meng و همکارش در سال ۲۰۱۴ از یک فیلتر که دارای فهرست سیاه برای فیلتر کردن بسته‌های شبکه بر مبنای نشانی IP بود، استفاده کرد [36]. معماری فیلتر بیان شده شامل فهرست سیاه و جدول جستجو است. فهرست سیاه شامل نشانی‌های IP منابع مخرب بوده و به صورت برخط در یک بازه زمانی مشخص به روزرسانی می‌شود. به طور کلی هنگامی که بسته ارسال می‌شود، نشانی IP آن در فهرست سیاه جستجو شده و در صورت وجود، با امضاهای موجود در جدول جستجو که بر مبنای مجموعه قوانین snort است، تطبیق داده و در انتها، در صورت تطبیق هشداری صادر و بسته فیلتر می‌شود؛ درنتیجه، به سامانه تشخیص نفوذ شبکه ارسال نخواهد شد.

Hung و همکاران در سال ۲۰۱۴ الگوریتم تشخیص نفوذ Aho-Coarsic را برای بررسی بسته‌های با اندازه یکسان بر روی پردازنده گرافیکی Geforce GTX980 به صورت موازی پیاده‌سازی کردند. آن‌ها توانستند به و گذردادی در حدود ۲/۵۶ گیگابیت در ثانیه و تسریعی در حدود ۵ برابر نسبت به پیاده‌سازی متواലی همان الگوریتم بر روی پردازنده مرکزی دست یابند [5].

Bloom و همکاران در سال ۲۰۱۵ الگوریتم Hung را برای بررسی محتوای داده حمل شده به وسیله بسته‌های شبکه با اندازه‌های متفاوت بر روی پردازنده‌های گرافیکی به صورت موازی پیاده‌سازی کردند. بیشینه میزان تسریع حاصل از اجرای موازی الگوریتم نسبت به نسخه

پردازش گرافیکی با دو روش پیکربندی نخ‌ها اجرا شده است. در روش نخست هر بسته توسط یک بلوك نخ و در روش دوم هر بسته توسط یک نخ متفاوت پردازش می‌شود که در نهایت هر دو روش منجر به تسریع پردازش با ضریب دو شد. همچنان، در پژوهش بعدی Vasiliadis و همکاران در سال ۲۰۰۹ کارایی سامانه تشخیص نفوذ شبکه به وسیله اجرای الگوریتم تطبیق عبارات منظم بر روی واحد پردازش گرافیکی شدت درصد بهبود پیدا کرد [33]. در ادامه این کار، Vasiliadis و همکاران در سال ۲۰۱۱ یک معماری سامانه تشخیص نفوذ موازی چندگانه برای شبکه‌های پرسرعت معرفی کردند [25]. این معماری از دو قسمت تشکیل شده است. قسمت نخست وظیفه دارد که از کارت‌های شبکه چندصفی بسته‌های شبکه را دریافت کرده و توسط هسته‌های پردازنده مرکزی دسته‌بندی کند. قسمت دوم، مسئول اجرای الگوریتم تطبیق الگو AC-compact در واحد پردازش گرافیکی است. در این معماری به منظور بهبود کارایی سامانه تشخیص نفوذ برای اجرای الگوریتم تطبیق الگو، از چندپردازنده گرافیکی استفاده شده که در نهایت منجر به دست‌یابی بیشینه توان پردازشی هفتاد گیگابیت بر ثانیه می‌شود.

Hung و همکاران در سال ۲۰۱۲ یک معماری جدول درهم سازی سلسه‌مراتبی جهت اجرای موازی الگوریتم تطبیق الگو بر روی یک پردازنده گرافیکی توسعه دادند [22]. در این الگوریتم هر بسته به بخش‌های ثابت و مساوی تقسیم شده و هر نخ هر قسمت از بسته را به صورت موازی جستجو می‌کند؛ درنتیجه، منجر به تسریع عملکرد تطبیق الگو و افزایش توان پردازشی ترافیک به اندازه ۲/۴ گیگابیت در ثانیه شد.

Jamshed و همکاران در سال ۲۰۱۲ یک نرم‌افزار با مقیاس پذیری بالا را بر مبنای سامانه تشخیص نفوذ تحت عنوان Kargus به منظور بهره‌برداری کامل از پتانسیل محاسباتی سخت‌افزار معرفی کردند [34]. در آن پژوهش نشان داده شده است که Kargus بسته‌های ورودی را به صورت دسته‌ای در کارت شبکه پردازش می‌کند و در نهایت نرخ ورودی تا چهل گیگابیت در ثانیه، حتی برای بسته‌هایی با کمینه اندازه، افزایش می‌یابد. این نرم‌افزار با برقراری توازن در حجم پردازش الگوریتم تطبیق الگو بین پردازنده‌های چندهسته‌ای و پردازنده‌های گرافیکی موجب ایجاد موازن قابل توجهی در پردازش می‌شود. در واقع kargus با تحقق دو اصل کلیدی دسته‌بندی و موازی‌سازی به طور چشم‌گیری موجب بهبود کارایی می‌شود.

^۱ Ternary Content Addressable Memory (TCAM)

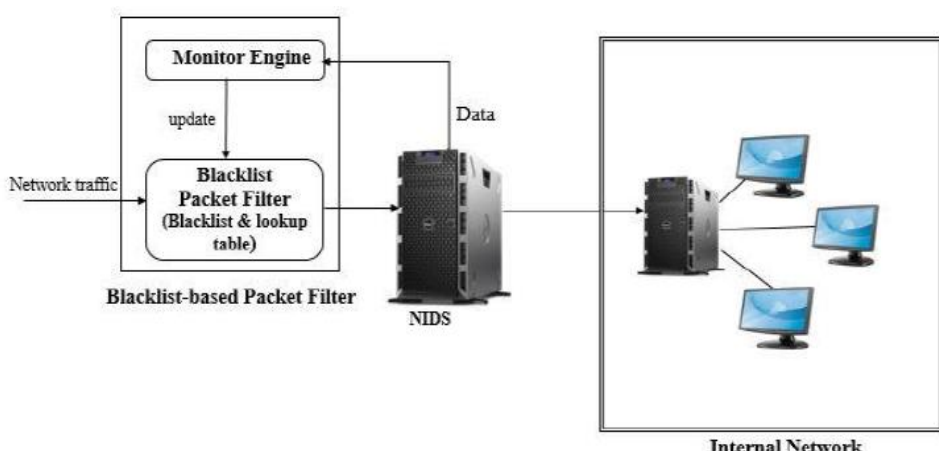
با ارائه یک روش جهت موازی‌سازی راه‌کار فیلتر بسته‌های شبکه به عنوان یک سازوکار پیش‌پردازش، سعی در بهبود عملکرد سامانه‌های تشخیص نفوذ شبکه از نظر بهره‌وری داریم.

متوالی آن $5/4$ برابر و بیشینه گذرداد نسخه موازی دو گیگابیت بر ثانیه گزارش شده است [4].

H_0 و همکاران در سال ۲۰۱۸ از موازی‌سازی الگوریتم درهم‌سازی Cuckoo-hashing بر روی پردازنده گرافیکی GeForce 660 برای تطبیق همزمان بسته ورودی با چند الگو استفاده کردند [3]. نتایج پژوهش مرتبط مؤید برتری روش H_0 و همکاران نسبت به روش Hung و همکاران در موازی‌سازی Bloom-Filter بوده و از منظر سرعت حدود ۶۹ درصد بهبود را نشان می‌دهد.

Ramesh و همکاران در سال ۲۰۱۸ از الگوریتم‌های بررسی سرآیند بسته به صورت موازی در سطح پردازش‌های نخی و یا در سطح پردازش‌های بلوکی Aho-Rabin-Karp و Wu-Manber Corasic برای وارسی عمیق بسته‌ای شبکه استفاده کردند [37]. نتایج پژوهش آن‌ها نشان می‌دهد موازی‌سازی در سطح بلوک بسیار کاراتر از موازی‌سازی در سطح نخ‌ها بوده و تا ۱۱۶ برابر تسريع حاصل می‌شود.

با توجه به کارهای مروارشده، روش‌های موجود در کسب سطح قابل قبولی از بهره‌وری در استفاده از منابع پردازشی برای موازی‌سازی تشخیص نفوذ ناتوان بوده‌اند. همچنین، در هیچ‌یک از کارهای اخیر موازی‌سازی بخش پیش‌پردازش سامانه تشخیص نفوذ شبکه به عنوان یک راه‌کار جهت تسريع عملکرد کلی سامانه تشخیص نفوذ مورد تجزیه و تحلیل قرار نگرفته است؛ بنابراین در این مقاله



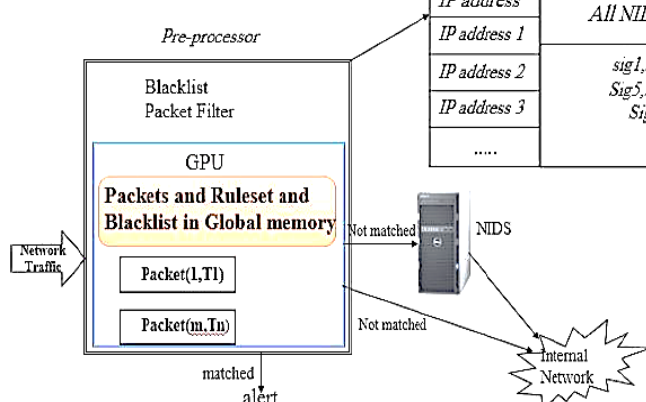
(شکل-۴): ساختار فیلتر مبتنی بر لیست سیاه [2]

(Figure-4): The structure of a black-list-based filter

و قوانین موجود، فیلتر می‌کند. از سوی دیگر، موتور نظارت نیز فهرست سیاه را به صورت برخط بر اساس اطلاعات ورودی از سامانه تشخیص نفوذ شبکه، به روزرسانی می‌کند.

معماری موردنظر شامل دو بخش اصلی فیلتر بسته فهرست سیاه و موتور نظارت است. فیلتر بسته فهرست سیاه شامل دو قسمت به نام‌های فهرست سیاه و جدول جستجو است و بسته‌های شبکه را بر اساس نشانی IP مبدأ

کردیم. بدینصورت که پس از تهیه فهرست سیاه و بر مبنای ارزیابی تشخیص نفوذ *darpa*, همراه با بسته‌های شبکه و قوانین *snort*, آن‌ها به حافظه سراسری پردازنده گرافیکی انتقال دادیم؛ سپس هر بسته توسط یک نخ اجرایی بهصورت جداگانه بهصورت موازی بر اساس الگوریتم فیلتر بسته مبتنی بر فهرست سیاه پردازش می‌شود. با توجه به شبه کدی که در شکل (۵) ارائه شده است، *P* بیان‌گر بسته‌ها، *B* بیان‌گر فهرست سیاه و *R* مجموعه‌قوانین *snort* است. هنگامی که بسته‌های ورودی در بافرهایی با اندازه‌های مختلف بهطور کامل دریافت شدند و بافر پر شد، همراه با فهرست سیاه که بهصورت برونو خط و بر مبنای ارزیابی تشخیص نفوذ *darpa* تهیه شده (خط ۱) و مجموعه قوانین *snort* به حافظه سراسری واحد پردازش گرافیکی که نسبت به انواع دیگر حافظه دارای ظرفیت بالایی است، انتقال پیدا می‌کنند. (خط ۲). با توجه به خط چهارم به هر بسته یک نخ جداگانه اختصاص داده شده و هر بسته بهوسیله یک نخ متفاوت پردازش می‌شود. هنگامی که تعداد بسته‌ها از تعداد نخ‌های بلاک تعریف شده بیشتر شود، هر نخ مسئول پردازش بسته‌های بیشتری خواهد شد (خط ۳).



(شکل-۵): معماری فیلتر مبتنی بر لیست سیاه بر روی واحد پردازش گرافیکی
(Figure-5): The architecture of the blacklist on GPU

قوانين *snort R*، که در حافظه سراسری است، انجام می‌شود (خط ۹). تطبیق قوانین بدینصورت است که در ابتدا نشانی IP مبدأ و مقصد، شماره درگاه مبدأ و مقصد و پروتکل بسته با قسمت سرآیند قوانین تطبیق داده می‌شود. درصورت تطبیق، محتوای بسته با رشتہ موجود در قوانین مربوطه توسط الگوریتم تطبیق الگو BM تطبیق داده خواهد شد؛ همچنین سایر قسمت‌های اختیاری قوانین بهصورت دقیق بررسی و درصورت تطبیق، بیت مربوط به آن قانون نگاشت می‌شود. درنتیجه مجموعه قوانین تطبیق

بر اساس اطلاعات موجود در سامانه سیاه سه حالت مختلف پاسخ‌دهی وجود دارد. هنگامی که بسته ورودی شبکه ابتدا به فاز پیش‌پردازش ارسال می‌شود، نشانی IP مبدأ آن بررسی می‌شود؛ اگر این نشانی در فهرست سیاه وجود داشته باشد، جهت بررسی با مجموعه امضاهای موجود در جدول جستجو که بر اساس قوانین *snort* است، تطبیق داده می‌شود. در صورت تطبیق، آن بسته فیلتر و درصورت عدم تطبیق، به شبکه ارسال می‌شود. درصورتی که نشانی IP مبدأ بسته در فهرست سیاه وجود نداشته باشد، آن بسته به سامانه تشخیص نفوذ شبکه ارسال می‌شود [2].

بیشترین زمان اجرای الگوریتم فیلتر کردن بسته‌های شبکه صرف بررسی نشانی IP در فهرست سیاه و سپس تطبیق قوانین موجود در جدول جستجو می‌شود؛ بنابراین، با افزایش حجم بسیار زیاد ترافیک و تهدیدات در شبکه‌های پرسرعت، فیلتر یادشده نیز دچار مشکل شده و سرعت بررسی بسته‌های شبکه در آن کاهش پیدا می‌کند. در روش پیشنهادی بهمنظور مقابله با این مشکل، الگوریتم فیلتر کردن بسته‌های شبکه را (همان‌طور که در شکل (۵) نشان داده شده است) بر روی واحد پردازش گرافیکی اجرا

Blacklist	Look-up Table
IP address	All NIDS Signatures
IP address 1	<i>sig1,sig2,sig3,sig4</i>
IP address 2	<i>Sig5,sig6,sig7,sig8</i>
IP address 3	<i>Sig9,sig10...</i>
....	

عملیات اصلی فیلتر بسته‌ها در خط چهارم انجام می‌شود؛ بهطوری که هر بسته توسط یک نخ جداگانه پردازش می‌شود؛ بنابراین باید اندیس این بسته‌ها با توجه به موقعیت بلوک در گرید و موقعیت نخ در بلوک محاسبه شود. این اندیس توسط متغیر *tid* در خط چهارم محاسبه می‌شود. درصورتی که اندیس به دست آمده، از تعداد کل بسته‌ها کمتر باشد، نخ یادشده یک بسته را از حافظه سراسری برداشته و نشانی IP آن را در فهرست سیاه *B* موجود در حافظه سراسری، جستجو می‌کند (۷) در صورت وجود عملیات اصلی تطبیق قوانین بر اساس مجموعه

سرعت بالاتری در تطبیق الگو نسبت به تطبیق الگو منفرد BM دارند، ولی مصرف حافظه بسیار بالای آن‌ها یکی از چالش‌هایی هست که با آن رویه ره هستند و همچنین دقت عملکرد آن‌ها نسبت BM پایین‌تر است [۳۸, ۳۹]. در پیاده‌سازی فیلتر بسته مبتنی بر فهرست سیاه از آن جایی که تنها برخی از بسته‌ها که در فهرست سیاه هستند، جهت تطبیق در جدول جستجو برسی می‌شوند؛ درنتیجه در پیاده‌سازی الگوریتم فیلتر بسته به‌دلیل تطبیق سرآیند و محتوا بسته‌ها، الگوریتم BM ضمن مصرف بیهینه حافظه و دقت بالا می‌تواند از کارایی بالایی برخوردار است.

افرازش سرعت فیلتر بسته‌های غیرضروری ضمن کاهش بار محاسباتی سامانه تشخیص نفوذ شبکه مبتنی بر امضا، باعث تسريع و بهبود عملکرد سامانه تشخیص نفوذ شبکه نیز می‌شود.

داده‌شده متناظر با بسته به عنوان خروجی، در آرایه outputArray جهت صدور هشدار مربوط به هر قانون ذخیره می‌شود (خط ۱۱).

در صورت عدم تطبیق بسته با هیچ‌یک از قوانین موجود در جدول جستجو به شبکه ارسال می‌شود (خط ۱۳). همچنین هنگامی که نشانی IP بسته در فهرست سیاه موجود نباشد آن بسته جهت تجزیه و تحلیل به سامانه تشخیص نفوذ شبکه ارسال (خط ۱۶) و تمامی بسته‌ها

به صورت موازی توسط یک نخ جداگانه پردازش می‌شود.

در پیاده‌سازی جدول جستجو فیلتر بسته مبتنی بر فهرست سیاه از الگوریتم BM به‌دلیل مصرف حافظه کم و دقت بسیار بالا جهت تطبیق الگو استفاده می‌شود و همان‌طور که در بخش ۲-۱ بیان شد، این الگوریتم از دو قانون نویسه بد و پسوند خوب جهت تطبیق الگو سریع استفاده می‌کند. اگرچه الگوریتم‌های تطبیق الگو چندگانه

```

Input : snort rules R , Set of packets P ,Blacklist B
Output: set of rules that matched In each packet
Pre – processing://performed within host (CPU)
1: Construct Bblacklist from corresponding DARPA intrusion detection
2: global memory  $\leftarrow$  host memory(R,P,B)
3: begin
4:   // Declare n threads; one for each packet
5:   for all  $i \in \left[0, \frac{|P|}{\text{Blocks} \times 1024}\right]$  do
6:     tid  $\leftarrow$  threadIdx +  $i \times (\text{Blocks} \times 1024) + blockIdx * 1024$ .
7:     bl  $\leftarrow$  Null, mrules  $\leftarrow$  Null ,
8:     if tid  $< |P|$  then
9:       packet  $\leftarrow$  ReadPacket(tid)
10:      bl  $\leftarrow$  Checkblacklist(B,packet)
11:      if bl == true then
12:        mrules  $\leftarrow$  Matching(packet,R)
13:        if mrules  $\neq$  Null then
14:          | outputArray(tid, mrules)
15:        else
16:          | send packet to network
17:        end if
18:        | send packet to NIDS
19:      end if
20:      end if
21:      i  $\leftarrow$  i + 1
22:   end for
23: end

```

(شکل-۶): شبکه کد پیاده‌سازی فیلتر در واحد پردازش گرافیکی
(Figure-6): The pseudo-code of filter in GPU

پیشنهادی را بررسی می‌کنیم. سپس، کارایی موازی‌سازی فیلتر بسته مبتنی بر فهرست سیاه را بر روی واحد پردازش گرافیکی با مجموعه‌داده DARPA [۴۰] از جنبه‌های مختلف کارایی نظیر دقت عملکرد، زمان پردازش بسته، گذرداد و تسريع مورد ارزیابی قرار می‌دهیم.

۵- نتایج تجربی

در این پژوهش از پردازنده گرافیکی و سیستمی با مشخصات مندرج در جدول (۱) استفاده کردیم. همچنین، در محیط برنامه‌نویسی c++ نسخه ۲۰۱۲ از کتابخانه cuda نسخه ۶/۵ و از کتابخانه winpcap استفاده کردیم. در ادامه ابتدا پیچیدگی زمانی و حافظه‌ای روش

(Table-1): The system specifications

CPU	Intel(R) Core™ i7Q 2670 @ 2.20GHz		
RAM	6 GB		
Operating System	Windows 8 Ultimate, 64-bit (Service Pack 1)		
GPU	Model	Nvidia GT 525M	
	Architecture	Fermi	
	Cuda Cores	96	
	Graphics clock	600 MHz	
	Memory Clock (effective)	1.8 GHz	
	Processing Power (GFLOPS)	215.04	
	Memory bandwidth	28.8 GB/s	
	SMs	2	
Bus width (bit)		128	

۵-۱- صحت و دقت عملکرد فیلتر بسته

در این بخش دقت عملکرد فیلتر بسته فهرست سیاه بر روی مجموعه‌داده Darpa مورد بررسی قرار می‌گیرد. در آزمایش‌های مرتبط، ابتدا فهرست سیاه را به صورت بروز خط و بر اساس تجزیه و تحلیل نشانی IP های مبدأ مخرب در ارزیابی سامانه تشخیص نفوذ Darpa در هفته چهارم از ماه آوریل (به دلیل وجود حجم حملات بیشتر در ساعت آغازین) تولید کردیم. مجموعه حملاتی که دقت عملکرد فیلتر مبتنی بر فهرست سیاه بر مبنای آن بررسی شده در جدول (۲) ارائه شده است. در فرآیند تطبیق در جدول جستجوی فیلتر بسته مبتنی بر فهرست سیاه از مجموعه‌قوانین snort استفاده شده است. همچنین، نحوه تشخیص نفوذ با نشانی‌های مبدأ موجود در فهرست بر اساس روش snort است.

به منظور اجرای موازی الگوریتم توسط نخهای همروند، بسته‌های ورودی شبکه همراه با مجموعه قوانین snort و فهرست سیاه به حافظه سراسری واحد پردازش گرافیکی انتقال می‌یابد؛ سپس، فرآیند جستجوی آدرس IP مبدأ در فهرست سیاه و تطبیق قوانین موجود در snort جدول جستجوی جهت بررسی و تشخیص نفوذ در آزمایش می‌شود. یادآوری این نکته لازم است که علاوه‌بر قوانین snort، کل سرآیند و محتوای بسته‌های ورودی باید به حافظه سراسری پردازنده گرافیکی انتقال یابند. همچنین، فضای حافظه موردنیاز الگوریتم‌های تطبیق الگو چندگانه بسیار زیاد است [21, 22, 28, 29, 41-45]. برای کاستن تعداد بسته‌های ورودی موردنیازی به کمک فهرست سیاه، از الگوریتم تطبیق سریع الگو به روش snort در سامانه تشخیص نفوذ snort می‌کنیم.

روش پیشنهادی از کارایی بالایی برخوردار است.

False Positive (۷) درصد False Positive، True Negative و True Positive Negative،

عملکرد فیلتر مبتنی بر فهرست سیاه جهت تشخیص حملات و نفوذهای رخداده برای مجموعه بسته‌های ورودی با اندازه‌های مختلف نشان نمایش می‌دهد. از آنجاکه فرآیند تطبیق الگو در جدول جستجوی فیلتر بر مبنای قوانین و ساختار سامانه تشخیص نفوذ snort است، تعداد و

اندازه‌های مختلف بسته، عملکرد فیلتر بسته فهرست سیاه بهنسبه از صحت بالایی برخوردار بوده و بالاترین میزان صحت تشخیص در ۸k بسته به مقدار ۹۹/۷۵ درصد است؛ همچنین، در این شکل نسبت حساسیت و ویژگی عملکرد فیلتر بسته مبتنی بر فهرست سیاه بهازای اندازه‌های مختلف بسته بررسی نمایش داده شده است. درصد حساسیت که به آن نرخ مثبت درست و یا احتمال تشخیص نیز گفته می‌شود تا ۱۶k بسته صد درصد بوده که این بیان گر تشخیص درست تمامی حملات است؛ ولی با توجه به این که در ۳۲k بسته دو حمله netbus و sshtrojan تشخیص داده نشده، است این مقدار به نود درصد کاهش پیدا کرده است.

همچنین، در شکل (۸) درصد ویژگی بهازای اندازه‌های مختلف بسته مشاهده می‌شود. این درصد بر مبنای نرخ منفی درست و نرخ مثبت اشتباه موردنبررسی قرار گرفته و بهازای اندازه‌های مختلف بسته‌های ورودی بهدست آمده است. بیشترین درصد ویژگی در مورد ۸k بسته ورودی و مقدار ۹۹/۷۵ درصد است.

نوع حملات تشخیصی در مقایسه با حملات تشخیص داده شده در ارزیابی پایه سامانه تشخیص نفوذ Darpa مورد ارزیابی قرار گرفته است.

با تعریف صحت، حساسیت و ویژگی با روابط (۱) تا (۳) بهصورت زیر:

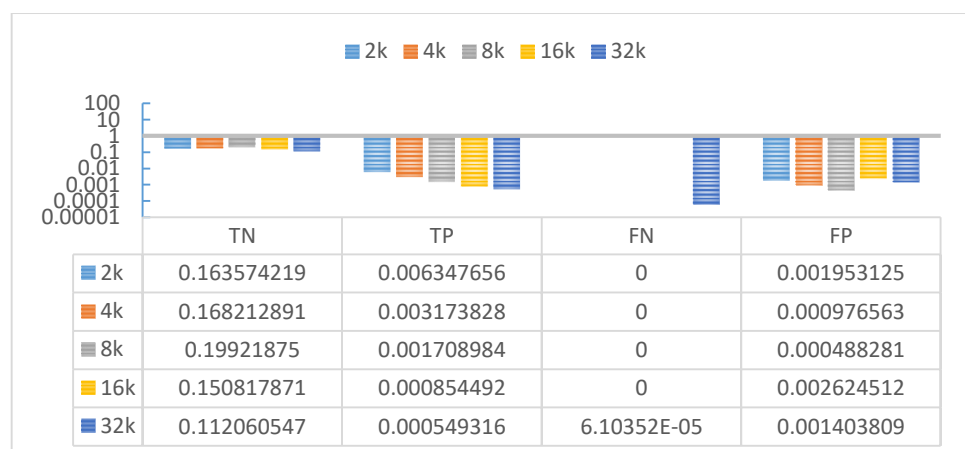
$$\text{Accuracy} = \frac{(TP+TN)}{(TP+FN+FP+TN)} \quad (1)$$

$$\text{Sensitivity} = \frac{(TP)}{(FN+P)} \quad (2)$$

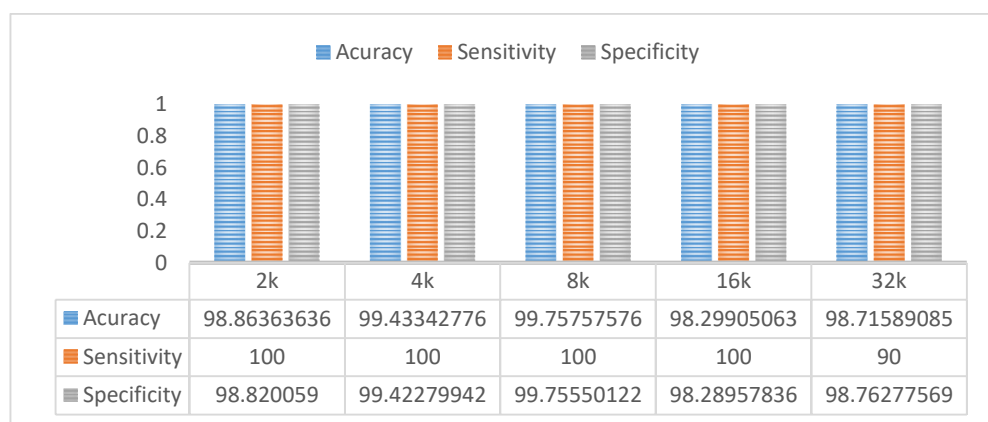
$$\text{Specificity} = \frac{(TN)}{(FP+TN)} \quad (3)$$

همان‌طور که در شکل (۸) مشاهده می‌شود دقیق روش ارائه شده در حد روشن Thomas و همکاران است [۴۰]. روش پیشنهادی دو حمله را که از حملات netbus و حمله sshtrojan (بهدلیل رمزنگاری ترافیک) بوده در تعداد ۳۲k بسته ورودی تشخیص نداده ولی سایر حملات در مجموعه بسته‌های ورودی شبکه بهدرستی تشخیص و شناسایی شده است.

با توجه به نتایج بهدست آمده از شکل (۸) بهازای



(شکل-۷): نمودار لگاریتمی نسبت False Negative (FN), False Positive (FP), True Negative (TN) and True Positive (TP) (Figure-7): The logarithmic rates of False Negative (FN), False Positive (FP), True Negative (TN) and True Positive (TP)



(شکل-۸): صحت، حساسیت و ویژگی عملکرد فیلتر بسته لیست سیاه (Figure-8): The accuracy, sensitivity and specificity of blacklist-based packet filter

۱-۵-۵- میزان تسریع و گذراد

موجب افزایش تسریع می‌شود. در بررسی‌های انجام شده بر روی فهرست سیاه به دست آمده از ترافیک ورودی که نشانی IP مبدأ آن‌ها در فهرست سیاه وجود داشته، مجموعه ۲k بسته دارای بیشترین حملات بوده است. این حملات شامل تعداد زیادی حملات از نوع ntis و ipsweep بوده که به عنوان حملات probe جهت شناسایی سامانه‌های آسیب‌پذیر در شبکه استفاده می‌شوند؛ همچنین بازای k2، ۸k و ۱۶k بسته به دلیل تعداد زیاد بسته‌های موجود در فهرست سیاه و همچنین ترافیک وب، پردازش بیشتری صورت گرفته است.

برای مقایسه نتایج روش پیشنهادی با کارهای اخیر، از معیار درصد بهره‌وری منابع محاسباتی می‌توان استفاده کرد. این معیار با نماد E طبق رابطه (۴) محاسبه می‌شود:

$$E = \frac{\text{Speedup}}{\text{number of cores}} \times 100 \quad (4)$$

جدول (۴) بهره‌وری روش پیشنهادی را با بهترین بهره‌وری حاصل از موازی‌سازی الگوریتم‌های تطبیق الگو مقایسه می‌کند. همان‌گونه که از نتایج پیداست روش پیشنهادی تسریعی بیش از تسریع روش [۵] و کمتر از تسریع روش‌های [۳] و [۴] دارد. اما محاسبه بهره‌وری نشان می‌دهد که هر سه روش بهره‌وری کمتری نسبت به روش پیشنهادی داشته‌اند و در استفاده بهینه از هسته‌های پردازنده گرافیکی جهت اجرای موازی الگوریتم تطبیق الگو ناموفق بوده‌اند. روش پیشنهادی با ۳۵/۷ درصد بهره‌وری، بهترین روش در موازی‌سازی کارآمد الگوریتم تطبیق رشته و تشخیص نفوذ روی پردازنده گرافیکی بوده است.

در این بخش، کارایی سازوکار پیشنهادی جهت موازی‌سازی روی واحد پردازش گرافیکی از جنبه‌های مختلف کارایی نظیر زمان فیلتر کردن در سامانه مبتنی بر فهرست سیاه، گذراد و تسریع بررسی می‌شود. زمان فیلتر مبتنی بر فهرست سیاه، مدت زمانی است که بسته‌ها به وسیله واحد پردازش گرافیکی در فیلتر مبتنی بر فهرست سیاه بررسی می‌شوند. گذراد، نشان‌دهنده تعداد بسته‌های ورودی است که در فیلتر مبتنی بر فهرست سیاه در یک ثانیه بررسی می‌شوند. همچنین، نسبت زمان بررسی بسته‌ها در فیلتر مبتنی بر فهرست سیاه در پردازنده گرافیکی به زمان بررسی بسته‌ها در فیلتر مبتنی بر فهرست سیاه در پردازنده مرکزی، تسریع نامیده می‌شود. در جدول (۳)، بازای اندازه‌های مختلف بسته‌های ورودی، زمان فیلتر مبتنی بر فهرست سیاه، گذراد، تسریع و همچنین زمان انتقال ساختار داده موردنیاز جهت بررسی بسته‌ها در فیلتر مبتنی بر فهرست سیاه بین پردازنده مرکزی و پردازنده گرافیکی اندازه‌گیری شده است. واحد زمان برای محاسبات در این جدول بر اساس میلی‌ثانیه و واحد گذراد گیگابیت در ثانیه است.

با توجه به نتایج به دست آمده که در جدول (۳) نشان داده شده است، میزان تسریع و گذراد با افزایش اندازه بسته‌های ورودی روند رو به بالایی دارد. طبق نمودار، در پردازش ۳۲k بسته بیشترین تسریع و گذراد به دست آمده است. نتایج حاصل به تعداد بسته در فهرست سیاه و ترافیک شبکه بستگی دارد. بدین صورت که افزایش تعداد بسته‌های ورودی که نشانی IP مبدأ آن‌ها در فهرست سیاه وجود داشته باشد؛ موجب به کارگیری تعداد بیشتری از پردازش‌های نخی هم‌روند شده و درنتیجه

(جدول-۳): گذراد و تسریع سیستم فیلتر بسته‌ها بر اساس فهرست سیاه

(Table-3): The throughput and speedup of the blacklist-based packet filter

اندازه بسته	زمان فیلتر مبتنی بر فهرست سیاه	زمان انتقال	زمان اجرا	تسربیع	گذراد
2K	0.16	0.021	0.18	26.13	12.5
4K	0.20	0.036	0.24	27	20
8K	0.38	0.069	0.45	30.65	21.1
16K	0.53	0.13	0.66	33.11	30.19
32K	0.66	0.27	0.93	34.23	48.48

(Table-4): The efficiency of the proposed method compared with recent methods

روش پیشنهادی	و Ramesh همکاران [3]	و Hung همکاران [4]	و Hung همکاران [5]	
Geforce GT 525M	GeForce GTX 660	GeForce GTX 980	GeForce GTS 450	نوع پردازنده گرافیکی
34.23	189.14	345.6	13	بیشینه تسریع
96	960	2048	192	تعداد هسته‌های محاسباتی
35.7	19.7	16.9	6.8	درصد بهرهوری

7- References

۷- مراجع

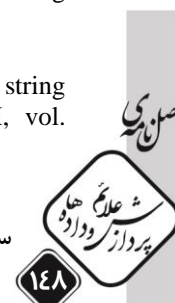
- [1] R. Chi, "Intrusion detection system based on snort," Lecture Notes in Electrical Engineering, vol. 272, pp. 657-664, 2014.
- [2] Y. Meng and L.-F. Kwok, "Adaptive blacklist-based packet filter with a statistic-based approach in network intrusion detection," J. Netw. Comput. Appl., vol. 39, pp. 83-92, 2014.
- [3] T. Ho, S. Cho, and S. Oh, "Parallel multiple pattern matching schemes based on cuckoo filter for deep packet inspection on graphics processing units," IET Information Security, vol. 12, pp. 381-38.۲۰۱۸, ۸
- [4] C. Hung, P. Wu, H. Wang, and C. Lin, "Efficient Parallel Muti-pattern Matching Using GPGPU Acceleration for Packet Filtering," in 2015 IEEE 17th International Conference on High Performance Computing and Communications, 2015 IEEE 7th International Symposium on Cyberspace Safety and Security, and 2015 IEEE 12th International Conference on Embedded Software and Systems, 2015, pp. 1843-1847.
- [5] C.-L. Hung, C.-Y. Lin, and H.-H. Wang, "An efficient parallel-network packet pattern-matching approach using GPUs," Journal of Systems Architecture, vol. 60, pp. 431-439, 2014/05/01/ 2014.
- [6] K. RahimiZadeh, M. Torkamani, and A. Dehghani, "Mapping of McGraw Cycle to RUP Methodology for Secure Software Developing," Signal and Data Processing, vol. 17, pp. 33-46 , 2020
- [۶] کیوان رحیمی‌زاده، محمدعی ترکمانی، عباس دهقانی، "نگاشت چرخه McGraw به متडولوژی RUP برای توسعه نرم‌افزار امن"، پردازش علائم و داده‌ها، ۱۳۹۹، دوره ۱۷، شماره ۲، صفحات ۳۳-۴۶.
- [6] Rahimizadeh K, Torkamani M, Dehghani A. Mapping of McGraw Cycle to RUP

۶- نتیجه‌گیری و کارهای آینده

با افزایش روزافرونه حملات و نفوذهای شبکه که منجر به افزایش تعداد امضاهای مرجوعه قوانین موجود در ابزارهای تشخیص نفوذ شده و همچنین با توسعه سریع فناوری‌های تولید سامانه‌های شبکه‌ای سریع، اهمیت سامانه‌های تشخیص نفوذ شبکه افزایش یافته و درنتیجه، افزایش سرعت پردازش بسته‌های شبکه در سامانه‌های تشخیص نفوذ، از مهم‌ترین چالش‌های مطرح در این حوزه است.

واحد پردازش گرافیکی بهدلیل داشتن تعداد قابل توجهی هسته پردازش موازی در کنار سلسله مراتب حافظه با ویژگی‌های متفاوت از لحاظ پهنای باند و تأخیر دسترسی، در کنار قیمت بسیار کمتر نسبت به سیستم‌های چندپردازنده‌ای متداول، به عنوان بستر مناسبی برای موازی سازی بخش‌های مختلف سامانه تشخیص نفوذ شبکه جهت تسریع عملکرد آن مورد توجه قرار گرفته است. روش ارائه شده در این مقاله با موازی کردن روش تشخیص نفوذ بر اساس فهرست سیاه بر روی پردازنده گرافیکی، بهبود قابل توجهی در عملکرد سامانه تشخیص نفوذ شبکه ایجاد می‌کند. نتایج ارزیابی نشان می‌دهد که روش موازی ارائه شده علاوه بر دست‌یابی به دقت صد درصد در تشخیص نفوذ بسته‌های موجود در فهرست سیاه، به ۳۵/۷ درصد بهرهوری در استفاده از منابع پردازنده گرافیکی جهت اجرای موازی الگوریتم تشخیص نفوذ می‌رسد که از بهرهوری بهترین روش‌های موجود جهت تشخیص نفوذ موازی بر روی پردازنده گرافیکی بالاتر است. در همین اواخر خوش پردازنده‌های گرافیکی، به بسترهای نوین برای محاسبات توزیع شده با موآزات چشم‌گیر تبدیل شده است. در ادامه پژوهش، برای افزایش موآزات در اجرای الگوریتم فیلتر بسته‌های شبکه می‌توان از خوش پردازنده‌های گرافیکی استفاده و در صورت استفاده از چندین پردازنده گرافیکی در قالب خوش پردازنده گرافیکی، از تعداد SM‌های بیشتری برای فیلتر سریع تر بسته‌ها می‌توان استفاده کرد.

- [21] A. V. Aho and M. J. Corasick, "Efficient string matching: an aid to bibliographic search," *Commun. ACM*, vol. 18, pp. 333-340, 1975.
- [22] C. L. Hung, C. Y. Lin, H. h. Wang, and C. Y. Chang, "Efficient Packet Pattern Matching for Gigabit Network Intrusion Detection Using GPUs," in High Performance Computing and Communication & 2012 IEEE 9th International Conference on Embedded Software and Systems (HPCC-ICESS), 2012 IEEE 14th International Conference on, 2012, pp. 1612-1617.
- [23] C. S. Kouzinopoulos and K. G. Margaritis, "String Matching on a Multicore GPU Using CUDA," in Informatics, 2009. PCI '09. 13th Panhellenic Conference on, 2009, pp. 14-18.
- [24] h. sadeghi and A. Akhavan Bitaghsir, "Signal Detection Based on GPU-Assisted Parallel Processing for Infrastructure-based Acoustical Sensor Networks," *Signal and Data Processing*, vol. 14, pp. 19-30, 2018.
- [24] حامد صادقی، امیر اخوان بی تقصیر، "آشکارسازی سیگنال بر اساس پردازش موازی مبتنی بر جیپیبو در شبکه‌های حسگری صوتی دارای زیرساخت"، پردازش علائم و داده‌ها، ۱۳۹۶، دوره ۱۴، شماره ۴، صفحات ۱۹-۳۰.
- [24] Sadeghi H, Akhavan A. Signal Detection Based on GPU-Assisted Parallel Processing for Infrastructure-based Acoustical Sensor Networks. *JSDP*. 2017, 14 (4): 19-30.
- [25] G. Vasiliadis, M. Polychronakis, and S. Ioannidis, "MIDeA: a multi-parallel intrusion detection architecture," presented at the Proceedings of the 18th ACM conference on Computer and communications security, Chicago, Illinois, USA, 2011.
- [26] S. Soroushnia, M. Daneshatalab, T. Pahikkala, and J. Plosila, "Parallel Implementation of Fuzzified Pattern Matching Algorithm on GPU," in 2015 23rd Euromicro International Conference on Parallel, Distributed, and Network-Based Processing, 2015, pp. 341-344.
- [27] N. P. Tran, M. Lee, S. Hong, and J. Choi, "High Throughput Parallel Implementation of Aho-Corasick Algorithm on a GPU," in Parallel and Distributed Processing Symposium Workshops & PhD Forum (IPDPSW), 2013 IEEE 27th International, 2013, pp. 1807-1816.
- Methodology for Secure Software Developing. *JSDP*. 2021, 17 (2): 33-46.
- [7] K. Kendall, "A Database of Computer Attacks for the Evaluation of Intrusion Detection Systems," Electrical Engineering and Computer Science, MASSACHUSETTS INSTITUTE OF TECHNOLOGY, MIT Lincoln, 1999.
- [8] P. Innella and O. McMillan, An Introduction to Intrusion Detection Systems, 2001.
- [9] P. Bunel, "An introduction to Intrusion Detection Systems," in Sans Security Essentials v1.4c, ed LONDON, 2004.
- [10] P. Bunel, "Host- vs. Network-Based Intrusion Detection Systems," in Sans Security Essentials, ed, 2004.
- [11] X. Luo, "Model design artificial intelligence and research of adaptive network intrusion detection and defense system using fuzzy logic," *Journal of Intelligent & Fuzzy Systems*, pp. 1-9.
- [12] A. S. Almogren, "Intrusion detection in Edge-of-Things computing," *Journal of Parallel and Distributed Computing*, vol. 137, pp. 259-265, 2020.
- [13] F. Erlacher and F. Dressler, "On high-speed flow-based intrusion detection using snort-compatible signatures," *IEEE Transactions on Dependable and Secure Computing*, 2020.
- [14] A. Thakkar and R. Lohiya, "A review of the advancement in intrusion detection datasets," *Procedia Computer Science*, vol. 167, pp. 636-645, 2020.
- [15] B. Caswell, J. Beale, and A. R Baker, Snort IDS and IPS Toolkit. Syngress Publishing, Inc. Elsevier, Inc.: Williams, Andrew 2007.
- [16] R. Chi, *Intrusion Detection System Based on Snort*. China, 2014.
- [17] M. Roesch, C. Green, and S. Team, SNORT Users Manual 2.9.9, 2016.
- [18] S. Sharma and M. Dixit, "A Review on Network Intrusion Detection System Using Open Source Snort," vol. 9, pp. 61-70, 2016.
- [19] C.-H. Lin, "Accelerating String Matching Algorithms on Multicore Processors".
- [20] R. S. Boyer and J. S. Moore, "A fast string searching algorithm," *Commun. ACM*, vol. 20, pp. 762-772. ۱۹۷۷.



- [36] Y. Meng and L. f. Kwok, "Adaptive context-aware packet filter scheme using statistic-based blacklist generation in network intrusion detection," in Information Assurance and Security (IAS), 2011 7th International Conference on, 2011, pp. 74-79.
- [37] M. Ramesh and H. Jeon, "Parallelizing Deep Packet Inspection on GPU," in 2018 IEEE Fourth International Conference on Big Data Computing Service and Applications (BigDataService), 2018, pp. 248-253.
- [38] S. Hakak, A. Kamsin, P. Shivakumara, G. A. Gilkar, W. Z. Khan, and M. Imran, "Exact String Matching Algorithms: Survey, Issues, and Future Research Directions," IEEE Access, 2019.
- [39] C.-L. Hung, T.-H. Hsu, H.-H. Wang, and C.-Y. Lin, A GPU-based Bit-Parallel Multiple Pattern Matching Algorithm, 2018.
- [40] C. Thomas, V. Sharma, and N. Balakrishnan, Usefulness of DARPA dataset for intrusion detection system evaluation, 2008.
- [41] P. P, M. T, and L. Raj, A Comparative Study on String Matching Algorithm of Biological Sequences, 2014.
- [42] N. Tuck, T. Sherwood, B. Calder, and G. Varghese, Deterministic Memory-Efficient String Matching Algorithms for Intrusion Detection vol. 4, 2004.
- [43] "Exact Matching: Classical Comparison-Based Methods," in Algorithms on Strings, Trees, and Sequences: Computer Science and Computational Biology, D. Gusfield, Ed., ed Cambridge: Cambridge University Press, 1997, pp. 16-34.
- [44] C. H. Lin, "Accelerating String Matching Algorithms on Multicore Processors," vol. 2, pp. 52-59, 6 June- 2016 2016.
- [45] J. Yu, Y. Xue, and J. Li, "Memory efficient string matching algorithm for network intrusion management system," Tsinghua Science and Technology, vol. 12, pp. 585-593, 2007.
- [46] G. Vasiliadis, M. Polychronakis, and S. Ioannidis, "Parallelization and characterization of pattern matching using GPUs," in Workload Characterization (IISWC), 2011 IEEE International Symposium on, 2011, pp. 216-225.
- [47] C. H. Lin, C. H. Liu, L. S. Chien, and S. C. Chang, "Accelerating Pattern Matching Using a Novel Parallel Algorithm on GPUs," IEEE Transactions on Computers, vol. 62, pp. 1916-06 ,2013.
- [48] L. Vokorokos, M. Ennert, M. Čajkovský, and J. Radušovský, "A Survey of parallel intrusion detection on graphical processors," Central European Journal of Computer Science, vol. 4, pp. 222-230, 2014.
- [49] A. P. M.S., "Parallelizing a network intrusion detection system using a GPU," Master of Science, Computer Science and Engineering, Louisville, UK, 2012.
- [50] G. Vasiliadis, S. Antonatos, M. Polychronakis, E. P. Markatos, and S. Ioannidis, "Gnort: High Performance Network Intrusion Detection Using Graphics Processors," in Recent Advances in Intrusion Detection: 11th International Symposium, RAID 2008, Cambridge, MA, USA, September 15-17, 2008. Proceedings, R. Lippmann, E. Kirda, and A. Trachtenberg, Eds., ed Berlin, Heidelberg: Springer Berlin Heidelberg, 2008, pp. 116-134.
- [51] G. Vasiliadis, M. Polychronakis, S. Antonatos, E. P. Markatos, and S. Ioannidis, "Regular Expression Matching on Graphics Hardware for Intrusion Detection," in Recent Advances in Intrusion Detection: 12th International Symposium, RAID 2009, Saint-Malo, France, September 23-25, 2009. Proceedings, E. Kirda, S. Jha, and D. Balzarotti, Eds., ed Berlin, Heidelberg: Springer Berlin Heidelberg, 2009, pp. 265-283.
- [52] M. A. Jamshed, J. Lee, S. Moon, I. Yun, D. Kim, S. Lee, et al., "Kargus: a highly-scalable software-based intrusion detection system," presented at the Proceedings of the 2012 ACM conference on Computer and communications security, Raleigh, North Carolina, USA, 2012.
- [53] H. Song and J. W. Lockwood, "Efficient packet classification for network intrusion detection using FPGA," presented at the Proceedings of the 2005 ACM/SIGDA 13th international symposium on Field-programmable gate arrays, Monterey, California, USA, 2005.

مهندی عباسی مدرک دکترای خود را



در سال ۱۳۹۱ در رشته معماری سیستم‌های رایانه‌ای از دانشگاه اصفهان اخذ و در حال حاضر دانشیار گروه مهندسی رایانه دانشگاه بولنی سینا است. پژوهش‌های ایشان به طور عمده بر روی اینترنت اشیا،

پردازنده‌های شبکه‌ای، بهینه‌سازی و پردازش سیگنال
متمرکز است.

نشانی رایانامه ایشان عبارت است از:
abbasi@basu.ac.ir

مطهره افشاری حقدوست مدرک
کارشناسی ارشد خود را در رشته
فناوری اطلاعات-شبکه‌های رایانه‌ای از
دانشگاه بولی سینا در سال ۱۳۹۶ اخذ
کرده است. پژوهش‌های ایشان به‌طور
عمده بر روی حوزه‌های زیر متمرکز است:

- طراحی شبکه‌های رایانه‌ای
- امنیت شبکه‌های رایانه‌ای

نشانی رایانامه ایشان عبارت است از:
a.afshari1371@gmail.com

فصلنامه



سال ۱۴۰۰ شماره ۱ پیاپی ۴۷

۱۵